## 3 Funções Altura

Reproduziremos abaixo como Thurston definiu funções altura para uma superfície quadriculada S conexa e simplesmente conexa com bordo em [5].

Seja  $\mathcal{V}_{\mathcal{S}}$  o conjunto de vértices dos quadrados de S e  $\mathcal{V}_{\partial \mathcal{S}} \neq \emptyset$  é o subconjunto de vértices do bordo de S. Considere um vértice arbitrário porém fixo  $v_b \in \mathcal{V}_{\partial \mathcal{S}}$  como o vértice base. Para uma cobertura  $t \in T_S$  construa a função altura  $\theta : \mathcal{V}_{\mathcal{S}} \longrightarrow \mathbb{Z}$  como se segue:

- (a)  $\theta(v_b) = 0;$
- (b) se um quadrado branco (resp. preto) está à esquerda da aresta orientada  $v_0v_1$  não coberta por um dominó de t então  $\theta(v_1) \theta(v_0) = 1$  (resp.-1).

A Fig. 3.1 é um exemplo de uma cobertura de dominó e a função altura correspondente.

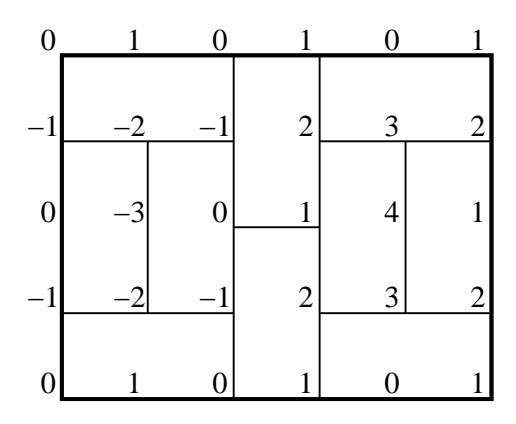


Figure 3.1: Uma função altura.

Claramente, as regras para a construção de  $\theta$  são consistentes quando  $\theta$  é construído ao longo do caminho que cerca um dominó. Esta consistência local, junto com o fato que S é conexo e simplesmente conexo , garantem a unicidade e a consistência global de  $\theta$ . Note que todas as funções altura coincidem no bordo e que alterando o vértice base altera  $\theta$  por uma constante inteira aditiva. Funções altura admitem a característica intrínseca que se segue (para uma prova e algumas aplicações, consulte [4]).

Proposição 3.1 Seja S uma superfície quadriculada conexa e simplesmente conexa com um vértice base  $v_b \in \mathcal{V}_{\partial S}$ , e seja  $\theta : \mathcal{V}_S \longrightarrow \mathbb{Z}$ . Então  $\theta$  é a função altura de alguma cobertura t (relativo ao ponto base  $v_b$ ) se e somente se as sequintes condições são válidas:

- (a)  $\theta(v_b) = 0$ ;
- (b) se a aresta orientada  $v_0v_1$  está no bordo de S e um quadrado branco (resp. preto) está à sua esquerda então  $\theta(v_1) \theta(v_0) = 1$  (resp. -1);
- (c) se a aresta orientada  $v_0v_1$  está no interior de S e um quadrado branco (resp. preto) está à sua esquerda então  $\theta(v_1) \theta(v_0) = 1$  ou -3 (resp. -1 ou 3).

Todas as funções altura  $\theta$  com ponto base  $v_b$  é igual a zero em  $v_b$ . Pela característica local das funções altura, dado um ponto  $v \in \mathcal{V}_{\mathcal{S}}$  distando  $\ell$  (medido através de arestas) de  $v_b$ ,  $|\theta(v)| \leq 3\ell$ . Assim, mesmo para uma superfície infinita quadriculada conexa e simplesmente conexa, as funções altura são localmente limitadas no sentido que dado algum subconjunto X finito de  $\mathcal{V}_{\mathcal{S}}$  as restrições de todas as funções altura de X são limitadas por uma constante  $C_X$ . Em particular, o máximo e o mínimo de algum conjunto (finito ou infinito) de funções altura é bem definido e, de novo pela característica local, é uma função altura.

Se o disco quadriculado com buracos D não é simplesmente conexo, não é necessário que a construção da função altura como acima seja consistente globalmente. Segue abaixo um exemplo de como esta dificuldade foi apresentada em [4].

A Fig. 3.2(a) mostra um disco com dois buracos. Marque cortes através de uma das arestas de cada buraco até a borda, como indicado. Devido aos buracos, é necesário fazer um shift aditivo apropriado como indicado na Fig. 3.2(a). Como esses shifts são obtidos? Basta contar dentro de cada buraco o número de quadrados brancos  $(n_b)$  e de quadrados pretos  $(n_p)$ . O valor do shift é  $4 | (n_b) - (n_p)|$ .

A função altura de uma cobertura t é definida como foi feito para as funções altura: quando ando ao longo de uma aresta com um quadrado branco (resp. preto) à sua esquerda é adicionado (resp. subtraído) 1 do valor do vértice de partida da aresta, para assim obter o valor do vértice de chegada da aresta. E quando ando ao longo de uma aresta marcada por um corte, basta fazer o shift aditivo  $4 |(n_b) - (n_p)|$ .

A Fig. 3.2(b) mostra um exemplo de uma cobertura e sua função altura; a Fig. 3.2(c) mostra como escrever a mesma função altura (em  $4\mathbb{Z}$ ), com cortes diferentes. A grande diferença entre valores de vértices vizinhos em

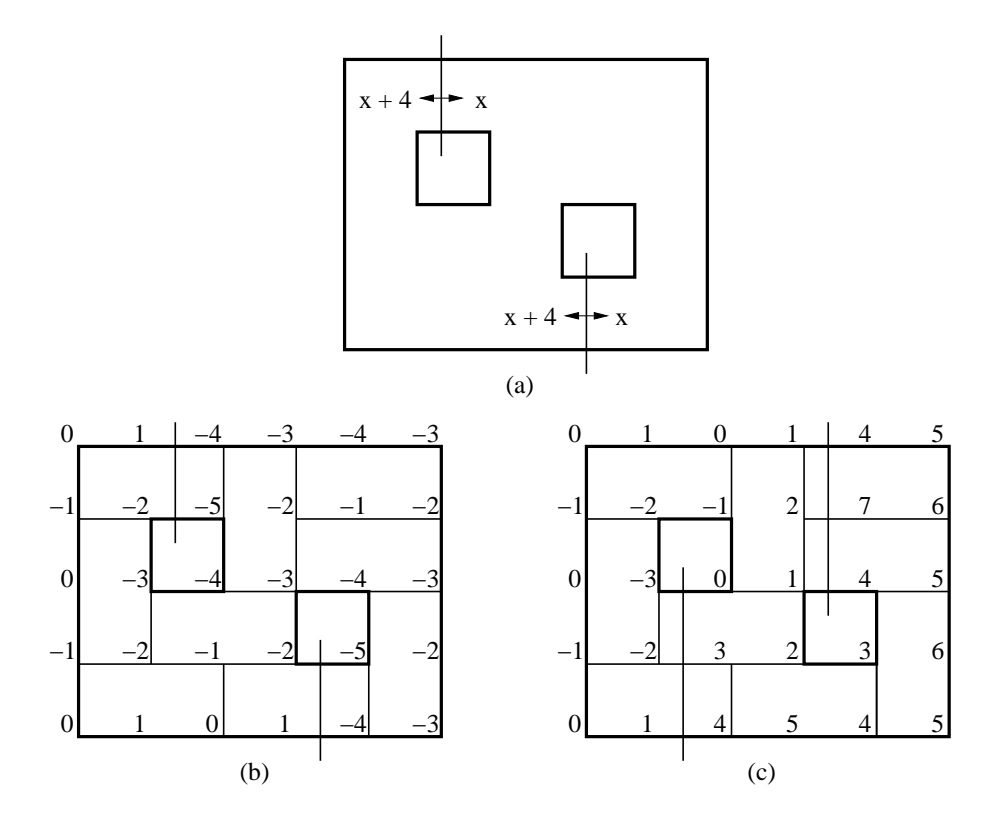


Figure 3.2: A mesma função altura para cortes diferentes.

lados opostos de um corte não corresponde a um salto da função altura, isso se deve ao shift aditivo.

Considere agora coberturas de uma faixa quadriculada com buracos infinita  $D^{\infty} = ...\Delta_{-1}\Delta_0\Delta_1...$  Os cortes  $\xi_{n+1}^i$ , i>1 em  $\Delta_{n+1}$  são obtidos a partir dos cortes  $\xi_n^i$ , i>1 por translação. As funções altura correspondentes são  $\theta: \mathcal{V}_{D^{\infty}} \longrightarrow \mathbb{Z}$ . Por conveniência, assuma que o ponto base  $v_b$  pertence a borda externa de  $D^{\infty}$ .

**Lema 2** Para um vértice referente fixo  $v_r$  na borda interna de  $D^{\infty}$ ,  $\theta(v_r) = 4\phi(t; \xi_{\frac{1}{2}}) + c$  para todas as coberturas t de  $D^{\infty}$  e alguma constante inteira c.

## Demonstração:

Se o vértice base  $v_b$  e o vértice referente  $v_r$  são os dois extremos de  $\xi_{\frac{1}{2}}$  então  $\theta(v_r)$  pode ser calculado de  $\theta(v_b)=0$  usando a definição da função altura seguindo  $\xi_{\frac{1}{2}}$ . Mais precisamente, desde que não se trespasse um corte, se  $v_i$  e  $v_{i+1}$  são os vértices consecutivos em  $\xi_{\frac{1}{2}}$  então  $\theta(v_{i+1})-\theta(v_i)$ é igual a:

- 3 (resp. -3) se um dominó cruza  $\xi_{\frac{1}{2}}$  no sentido anti-horário (resp. horário) a aresta  $v_iv_{i+1}$ ;
- 1 (resp. -1) se nenhum dominó cruza  $\xi_{\frac{1}{2}}$  em  $v_i v_{i+1}$  e o quadrado à esquerda de  $v_i v_{i+1}$  é branco (resp. preto).

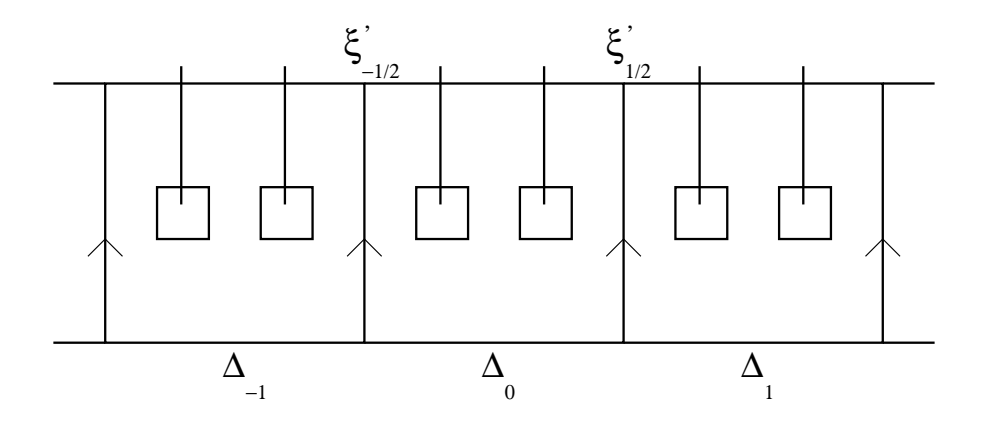


Figure 3.3: Cortes obtidos por translação

Sejam  $n_3, n_{-3}, n_1$  e  $n_{-1}$  o número de arestas em  $\xi_{\frac{1}{2}}$  em cada situação acima.

Claramente,

$$\theta(v_r) = -3n_{-3} - n_{-1} + n_1 + 3n_3 = (n_1 + n_{-3} - n_{-1} - n_{-3}) + 4(n_3 - n_{-3}).$$

Pela definição,  $\phi(t;\xi_{\frac{1}{2}})=n_3-n_{-3}$  (cruzam  $\xi_{\frac{1}{2}}$ ). Mas  $n_1+n_{-3}$  (resp.  $n_{-1}+n_3$ ) é o número de arestas no corte com um quadrado branco (resp. preto) à sua esquerda e portanto  $c=n_1+n_{-3}-n_{-1}-n_3$  não depende da cobertura t.

No caso geral quando  $v_b$  ou  $v_r$  não são extremos de  $\xi_{\frac{1}{2}}$ , considere as variações de  $\theta$  ao longo de trechos da borda com extremos em  $v_b$  ou  $v_r$  que são novamente independentes da cobertura.  $\square$ 

Note que uma função altura  $\theta$  correspondente a uma cobertura periódica de  $D^{\infty}$  normalmente não satisfaz  $(\theta \circ \tau)(v) = \theta(v)$ , onde  $\tau$  é uma translação, mas em vez disso satisfaz  $(\theta \circ \tau)(v) = \theta(v) + c'$  para alguma constante inteira c', c' depende apenas de D e não da cobertura t. Com um pouco de abuso, as funções altura deste tipo são também chamadas de periódicas. Considere  $\theta_{f,max}$  (resp.  $\theta_{f,min}$ ) o máximo (resp. mínimo) de todas as funções altura com um fluxo f dado. Estes extremos das funções altura são periódicos. De fato, o máximo de uma família de funções altura, também é uma função altura.

O resultado a seguir é uma aplicação das funções altura para coberturas de discos com buracos.

Teorema 3.2 Seja D um disco quadriculado com buracos e sejam  $f_{max}$  e  $f_{min}$  os valores máximo e mínimo do fluxo primário entre todas as coberturas de D relativos a um corte primário  $\xi'$  arbitrário. Então existem cortes primários  $\xi'_{max}$  e  $\xi'_{min}$  tal que nenhuma cobertura de fluxo  $f_{max}$  trespassa  $\xi'_{max}$  e nenhuma de fluxo  $f_{min}$  trespassa  $\xi'_{min}$ .

Como paredes no corolário 2.3, o não-ultrapasso de cortes acima permite, por um princípio multiplicativo, ser aplicado a contagem de coberturas de fluxo extremo. De fato, seja  $a_k^{[n]}$  o número de coberturas de um espaço recoberto  $D^n$  com fluxo  $k+f_{min}, k=0,...,f_{max}-f_{min}$ ; temos  $a_{f_{max}-f_{min}}^{[n]}=(a_{f_{max}-f_{min}}^{[1]})^n$  e  $a_0^{[n]}=(a_0^{[1]})^n$ . Relações mais gerais sobre  $a_k^{[n]}$  estão presentes na Proposição 5.2.

## Demonstração:

Segue apenas a demonstração da existência de  $\xi'_{max}$ . É preciso encontrar um corte primário onde todas as funções altura com fluxo  $\xi'_{max}$  coincidem: isto acontece se e somente se  $\theta_{f_{max},min}(v) = \theta_{f_{max},max}(v)$  para v no corte. Seja

$$X = \{ v \in \mathcal{V}_{D^{\infty}} | \theta_{f_{max}, min}(v) = \theta_{f_{max}, max}(v) \}$$

o conjunto de vértices onde todas as funções altura de fluxo  $f_{max}$  coincidem. Este conjunto contém a borda externa se  $v_b$  pertence a ele e, pelo lema anterior, também contém uma das bordas internas. Seja Y a componente conexa de X contendo a borda externa de  $D^{\infty}$  (i.e., o subconjunto maximal de X contendo a borda externa e tal que se dois vértices  $v_1, v_2 \in X$  são adjacentes e  $v_1 \in Y$  então  $v_2 \in Y$ ): devemos provar que Y também contém uma das bordas internas. Seja

$$\theta(v) = \begin{cases} \theta_{f_{max}, min}(v) &, v \in Y \\ \theta_{f_{max}, min}(v) + 4 &, v \in D^{\infty} - Y. \end{cases}$$

A função  $\theta$  é uma função altura: os itens (a) e (b) da Proposição 3.1 são claramente satisfeitos. Já o item (c), se  $v_1$  e  $v_2$  são adjacentes e ambos pertencem a Y ou nenhum dos dois pertence a Y então  $\theta(v_1) - \theta(v_2) = \theta_{f_{max},min}(v_1) - \theta_{f_{max},min}(v_2)$ . Se  $v_1 \in Y$  e  $v_2 \notin Y$  então  $v_2 \notin X$  e segue, da adjacência de  $v_1$  e  $v_2$ ,  $\theta_{f_{max},max}(v_2) - \theta_{f_{max},min}(v_2) = 4$  e assim  $\theta(v_1) - \theta(v_2) = \theta_{f_{max},max}(v_1) - \theta_{f_{max},max}(v_2)$ . Daí, em todos os casos  $\theta(v_1) - \theta(v_2)$  coincide com a diferença em valores de  $v_1$  e  $v_2$  de ambos  $\theta_{f_{max},min}$  ou  $\theta_{f_{max},max}$ , próprio das funções altura, mostrando que  $\theta$  satisfaz (c). Se Y contém a borda interna então  $\phi(\theta,\xi')=f_{max}$  mas por outro lado  $\phi(\theta,\xi')=f_{max}+1$ , contradizendo a maximalidade de  $f_{max}$ .  $\square$